

Modelación Aplicada del Océano

Curso Básico - CROCO

Andrés Sepúlveda

Departamento de Geofísica
Universidad de Concepción

20 Enero 2021

Anuncios

- Hoy: **Biogeoquímica**

Aspectos Generales

- Existen varias formas de representar los procesos biológicos en CROCO
- Todas ellas son simplificaciones que se basan en los modelos de caja (*box model*), en las cuales son contenedores de una serie de variables (e.g. clorofila), y donde hay flechas que representan conversiones entre una y otra variable
- Estas conversiones son tasas de cambio que parametrizan procesos
- Estas tasas de cambio dependen de parámetros que pueden o **no** haber sido medidos en la zona de interés. En caso de no tener mediciones, usamos valores de la literatura, para ese u otro lugar
- Además tenemos el transporte desde otros lados, el efecto de la capa de mezcla, la temperatura...
- **Si la física está mal, la Biogeoquímica no saldrá bien**

Biogeoquímica

CROCO - cppdefs.h

- Hay 4 modelos bioquímicos en CROCO

```
define BIOLOGY  
biology.F
```

- Un modelo NPZD (5 componentes)

```
define BIO_NChlPZD  
bio_NChlPZD.F  
(+ oxígeno)
```

- Un modelo NPZD2 (7 componentes)

```
define BIO_N2ChlPZD2  
bio_N2ChlPZD2.F  
(+ oxígeno)
```

Biogeoquímica

CROCO - cppdefs.h

- Un modelo llamado BioEBUS (13 componentes)
(Eastern Boundary Upwelling Systems)
basado en el nitrógeno, como moneda de intercambio.

```
define BIO_BioEBUS  
bio_BioEBUS.F  
(+ oxígeno)
```

- Un modelo llamado PISCES (24 componentes)
(Pelagic Interactions Scheme for Carbon and Ecosystems Studies)
basado en el carbono, como moneda de intercambio

```
define PISCES  
Un directorio completo
```

(PISCES → PISCES v2)

Archivos de Entrada

- Condiciones de Borde (CLM/BRY)

make_clim_npzd
make_clim_pisces
make_clim_bioebus

make_bry_npzd
make_bry_pisces
make_bry_bioebus

- Condiciones Iniciales

make_ini_npzd
make_ini_pisces
make_ini_bioebus

- Extras

make_dust (Fe)
Nutrientes en ríos

Biogeoquímica

CROCO - croco.in

Variables Consideradas

- croco.in

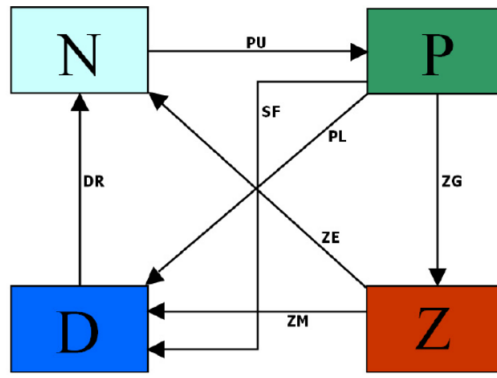
```
primary_history_fields: zeta UBAR VBAR U V wrtT(1:NT)
                           T      T      T      T      T      30*T
```

- Bioquímica de ríos

```
psource: Nsrc Isrc Jsrc Dsrc Qbar [m3/s] Lsrc T S
          DIC Alkali O2 CaCO3 P04 POC Si NPhy MiZoo Doc DPhy MeZoo
          BSi Fe BFe GOC SFe DFe DSi NFe NChl DChl NO3 NH4 Ts
          28
          288 274    0   -648      T T F F T F T F T T T F T
          T F F F F F F F T T T T 9.8 0.1 0 0 325 0 0.214 0
          118 0.117 0.047 0 0.273 0.109 0 0 0 0 0 0 0 0 0.234
          0.546 1.86 0.74
```

Biogeoquímica

NPChIZD



PU - Phytoplankton uptake

ZG - Zooplankton grazing

ZM - Zooplankton mortality

DR - Detritus remineralization

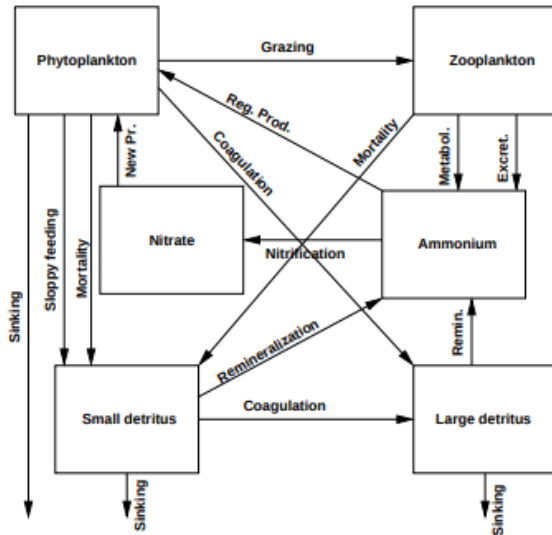
PL - Phytoplankton lysis

ZE - Zooplankton excretion

SF - Sloppy feeding

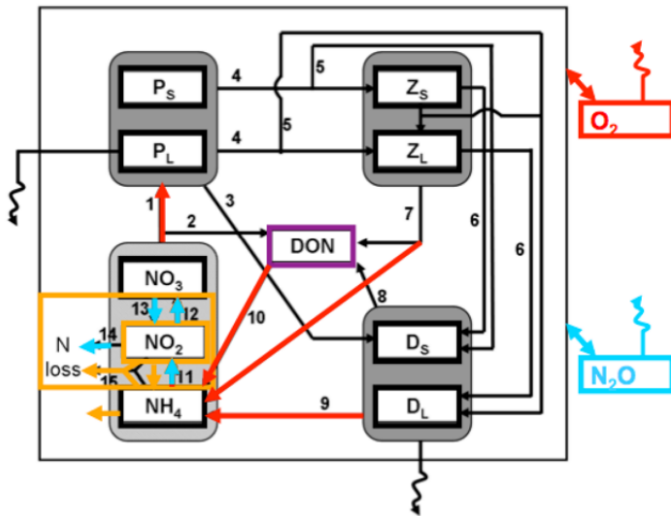
Biogeoquímica

N2PChIZD2



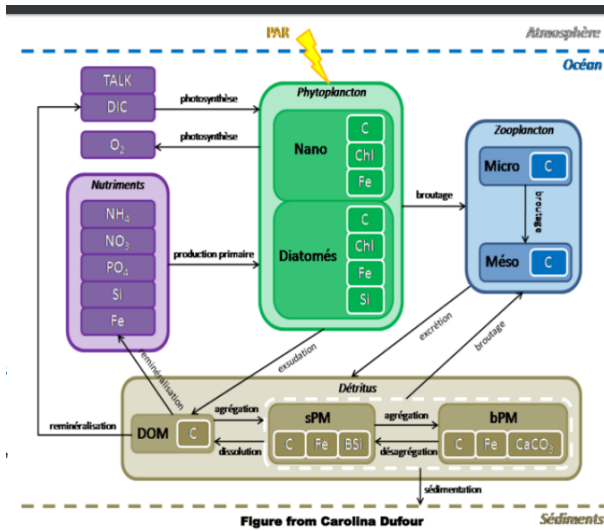
Biogeoquímica

BioEBUS



Biogeoquímica

PISCES



Biogeoquímica

Aspectos Prácticos

- Aumentan el tiempo de cálculo en 2-4 veces
- Técnicamente, pueden ser calculados *off-line*
- Pueden incluir aportes atmosféricos o de ríos
- Escasa información para validar
 - ▶ Color de Océano (SeaWiffs) Chl-a
 - ▶ WOA, CARS
 - ▶ Mediciones
- MUY escasa información sobre los parámetros que usan

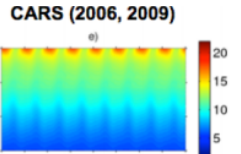
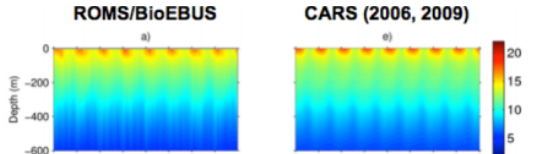
Biogeoquímica

Validación BioEBUS

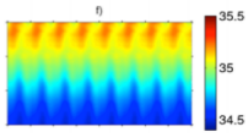
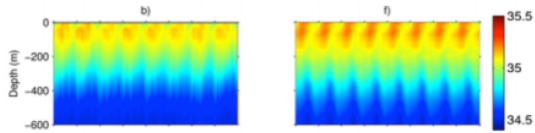
Time series

22-24°S, 12.5-15°E

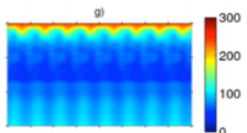
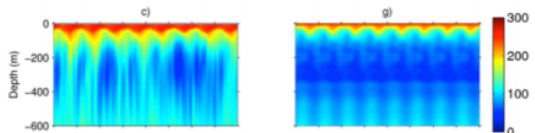
Temperature
(°C)



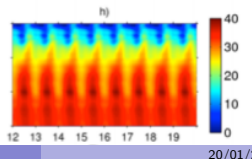
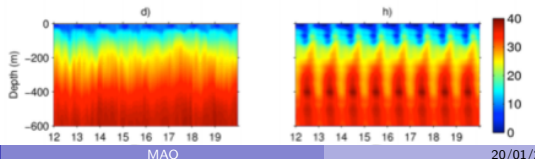
Salinity



Oxygen
(mmol O₂ m⁻³)



Nitrate
(mmol N m⁻³)

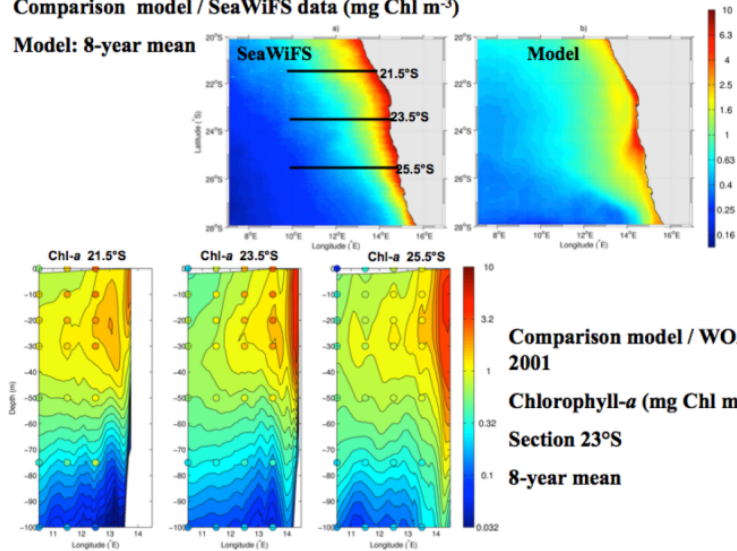


Biogeoquímica

Validación BioEBUS

Comparison model / SeaWiFS data (mg Chl m⁻³)

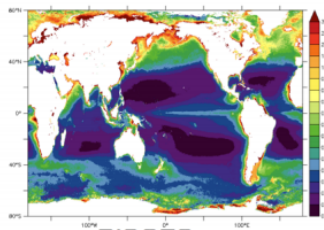
Model: 8-year mean



Biogeoquímica

Validación PISCES

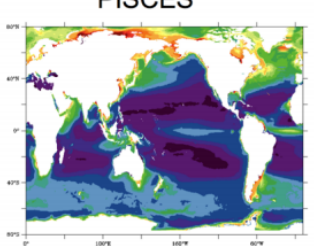
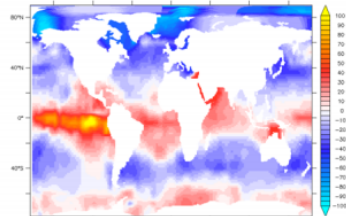
Chlorophyll (mg Chl/m^3 , annual mean)



PISCES

SeaWifs

Takahashi et al.
Delta pCO₂ (ppm, annual mean)



MAO

Biogeoquímica

namelist_pisces

Equation name	Code name	Description
Phytoplankton		
α^I	pislope, pislope2	Initial slope of the PI curve
δ^I	excret	Exudation of DOC
$K_{PO_4}^{I,min}$	concnnh4, concdnh4	Minimum half-saturation constant for Phosphate
$K_{NH_4}^{I,min}$	concnnh4, concdnh4	Minimum half-saturation constant for Ammonium
$K_{NO_3}^{I,min}$	concnno3, concdno3	Minimum half-saturation constant for Nitrate
K_{Si}^I	xksi1	First parameter for Si/C
K_{Si}^2	xksi2	Second parameter for Si/C
$K_{Fe}^{I,min}$	concnfer, concdfer	Minimum half-saturation constant for Iron
S_{lat}^I	xsizeern, xsizerd	Size ratio of phytoplankton
$\theta_{Si,D}^{I,max}$	grosip	Optimal Si/C uptake ratio of diatoms
$\theta_{Fe,I}^{I,max}$	qnfelim, qdfelim	Optimal iron quota
θ_{max}^I	fecnm, fednm	Maximum iron quota
m^I	mprat, mprat2	phytoplankton mortality rate
w^P	wchl	Minimum quadratic mortality of phytoplankton
w_{max}^D	wchld	Maximum quadratic mortality of diatoms
K_m	xkmort	Half-saturation constant for mortality
$\theta_{chl,max}$	chlcnm, chlcm	Maximum Chl/C ratios of phytoplankton
I_{max}	xsizephy, xsizedia	Threshold concentration for size dependency
Zooplankton		
e_{max}^I	epsher, epsher2	Maximum growth efficiency of zooplankton
γ^I	signal, signa2	Excretion as DOC
σ^I	unass1, unass2	Non-assimilated fraction
g_m^I	grazrat, grazrat2	Maximum grazing rate
K_g^I	xkgraz, xkgraz2	Half-saturation constant for grazing
g_{PF}^I	grazflux	Flux feeding rate
$P_P^I \gamma P$	xpref2p, xprefp	Preferences for nanophytoplankton
$P_D^I \gamma D$	xpref2d, xprefc	Preferences for diatoms
$P_{POC}^I \gamma POC$	xpref2c, xpref poc	Preferences for POC
P_Z^I	xprefz	Preference for microzooplankton
F_{thresh}^I	xthresh, xthresh2	Food threshold for zooplankton
P_{thresh}^I	xthreshphy,	Nanophytoplankton threshold for zooplankton
D_{thresh}^I	xthreshphy	
	xthreshdia,	Diatoms threshold for zooplankton
	xthresh2dia	
POC_{thresh}^I	xthreshpoc,	POC threshold for zooplankton
	xthresh2poc	
Z_{thresh}^M	xthresh2zoo	Microzooplankton threshold for mesozooplankton
m^I	mzrat, mzrat2	Mesozooplankton mortality
r^I	resrat, resrat2	Excretion rate

Biogeoquímica

namelist_pisces

Equation name	Code name	Description
ν^I	part, part2	Fraction of calcite that does not dissolve in guts
$\theta^{Fe,Zoo}$	ferat3	Fe/C ratio of zooplankton
Organic matter		
λ_{DOC}	xremik	Remineralization rate of DOC
K_{DOC}	xkdoc	Half-saturation constant for DOC remin.
K_{Fe}^{fast}	concbfe	Fe half-saturation constant for DOC remin.
λ_{POC}	xremip	Degradation rate of POC
w_{POC}	wsbio	Sinking speed of POC
w_{GOC}^{min}	wsbio2	Minimum sinking speed of GOC
w_{dust}	wdust	Sinking speed of dust
λ_{Fe}	xlam1	Slope of scavenging rate of iron
λ_{Fe}^{dust}	xlamdust	Scavenging rate of iron by dust
λ_{CaCO_3}	kdca	Dissolution rate of calcite
nca	nca	Exponent in the dissolution rate of calcite
χ_{lab}^0	xsilab	Proportion of the most labile phase in PSi
λ_{PSi}^{slow}	xsiremlab	Fast remineralization rate of PSi
λ_{PSi}^{fast}	xsirem	Slow remineralization rate of PSi
Nutrients		
λ_{NH_4}	nitrif	Maximum nitrification rate
$O_2^{min,1}$	cymin	Half saturation constant for denitrification
L_T	ligand	Total ligand concentration
N_{fix}^m	nitrefix	Maximum rate of nitrogen fixation
K_{Fe}^{diaz}	concfdiaz	Fe half-saturation constant of nitrogen fixation
E_{fix}	diazolight	Photosynthetic parameter of nitrogen fixation
Fe_{ice}	icefeinput	Iron concentration in sea ice
F_{sed}	sedfeinput	Maximum sediment flux of iron
Sol_{Fe}	dustsolv	Solubility of iron in dust
Stoichiometric ratios		
r_{CaCO_3}	caco3r	Maximum rain ratio

Biogeoquímica

Referencias

- PISCES

O. Aumont, C. Ethé, A. Tagliabue, L. Bopp, and M. Gehlen
PISCES-v2: an ocean biogeochemical model for carbon and ecosystem studies Geosci. Model Dev., 8, 2465–2513, 2015
www.geosci-model-dev.net/8/2465/2015/

- BioEBUS

Gutknecht, E., Dadou, I., Le Vu, B., Cambon, G., Sudre, J., Garçon, V., Machu, E., Rixen, T., Kock, A., Flohr, A., Paulmier, A., and Lavik, G.: Coupled physical/biogeochemical modeling including O₂-dependent processes in the Eastern Boundary Upwelling Systems: application in the Benguela, Biogeosciences, 10, 3559–3591, doi:10.5194/bg-10-3559-2013, 2013.

Biogeoquímica

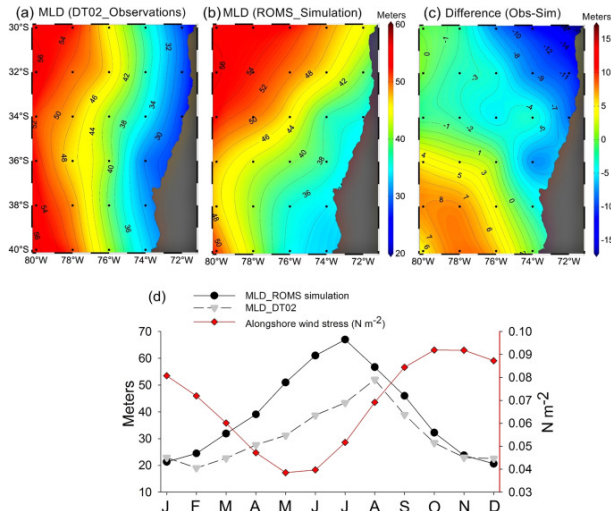
Caso de Estudio

Chile

Vergara, O.A., Echevín, V., Sepúlveda, H.H. and Quiñones, R.A., 2017. Controlling factors of the seasonal variability of productivity in the southern Humboldt Current System ($30\text{--}40^\circ\text{ S}$): A biophysical modeling approach. *Continental Shelf Research*, 148, pp.89–103.

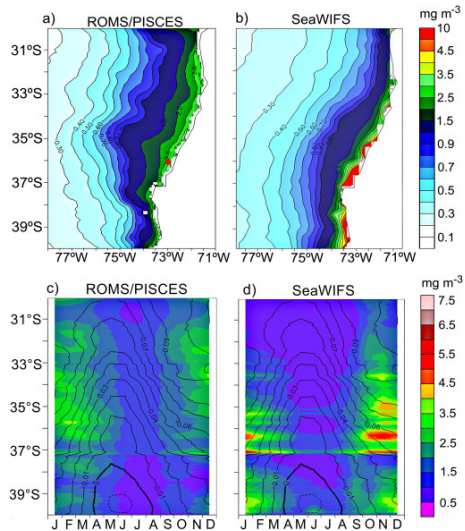
Biogeoquímica

PISCES - Chile



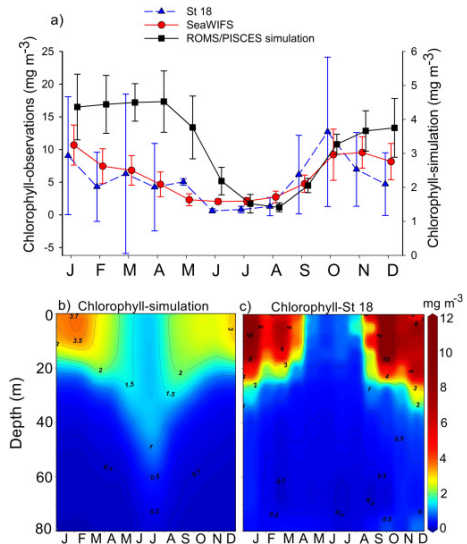
Biogeoquímica

PISCES - Chile



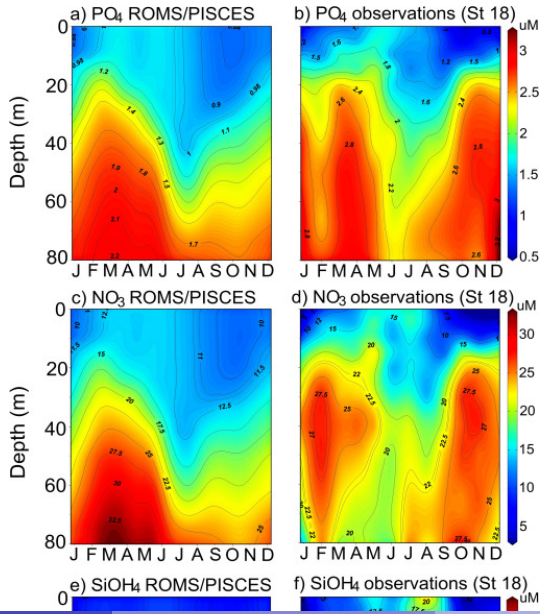
Biogeoquímica

PISCES - Chile



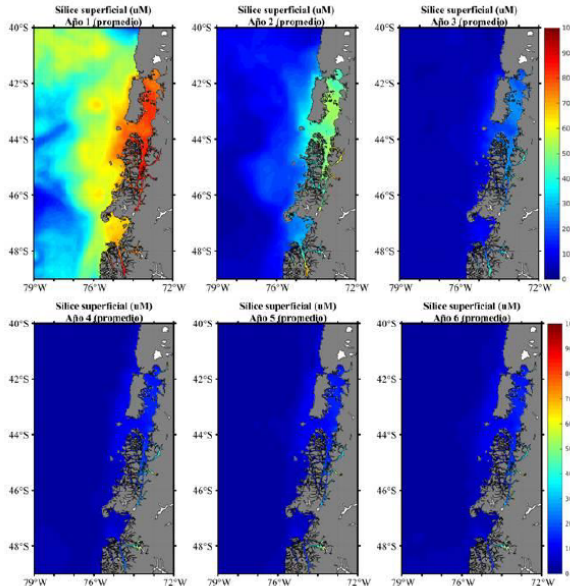
Biogeoquímica

PISCES - Chile



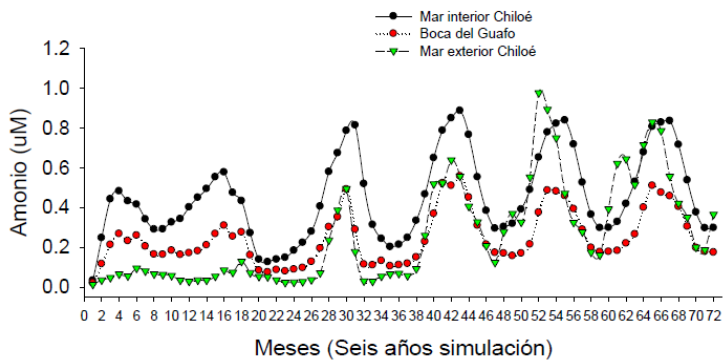
Biogeoquímica

PISCES - Chile



Biogeoquímica

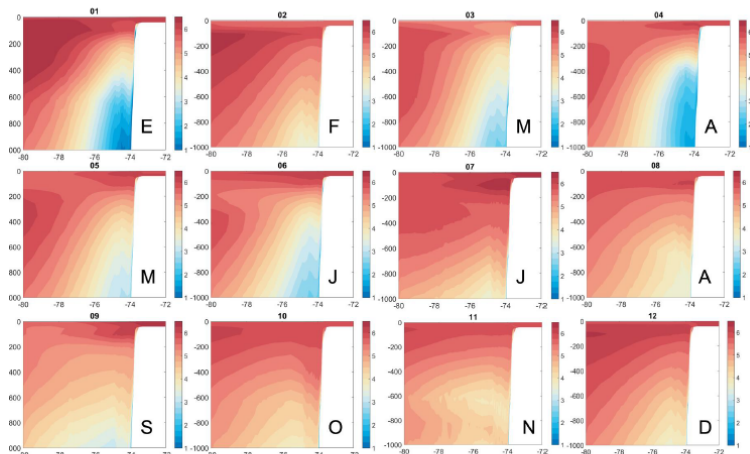
PISCES - Chile



Biogeoquímica

PISCES - Chile

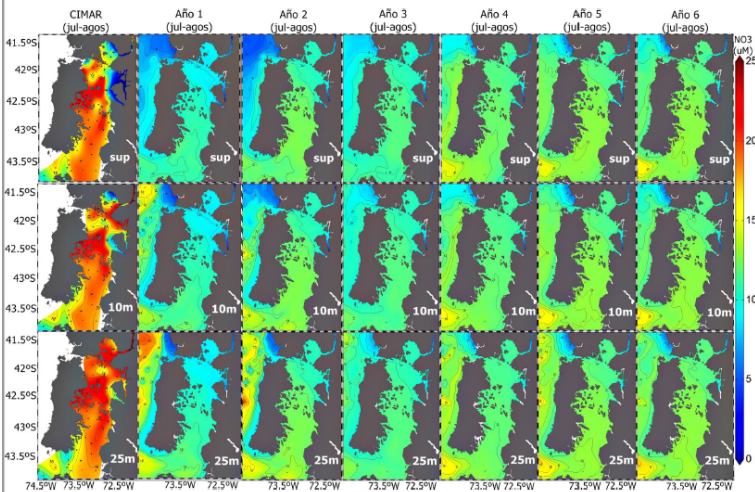
Oxígeno (ml/L) frontera norte, enero-diciembre



Oxígeno (ml/L) frontera norte MERCATOR-PISCES enero a diciembre (E-D).

Biogeoquímica

PISCES - Chile



Biogeoquímica

Caso de Estudio

Biogeoquímica 1D

Troupin, Charles, Pablo Sangrà, and Javier Arístegui.
"Seasonal variability of the oceanic upper layer and
its modulation of biological cycles in the Canary
Island region." Journal of Marine Systems 80, 3-4
(2010): 172-183.